

国家重点基础研究发展计划(973计划)项目(2010CB226805)资助

国家自然科学煤炭联合基金项目(51174285)资助

“十二五”国家科技支撑计划项目(2012BAK09B01)资助

国家自然科学基金项目(51104150)资助

江苏高校优势学科建设工程资助项目(SZBF2011—6—B35)资助

煤矿围岩控制及监测技术

窦林名 陆菜平 牟宗龙 岑传鸿 著

Meikuang
Weiyan Kongzhi Ji
Jiance Jishu

中国矿业大学出版社

China University of Mining and Technology Press

国家重点基础研究发展计划(973计划)项目(2010CB226805)资助
国家自然科学煤炭联合基金项目(51174285)资助
“十二五”国家科技支撑计划项目(2012BAK09B01)资助
国家自然科学基金项目(51104150)资助
江苏高校优势学科建设工程资助项目(SZBF2011—6—B35)资助

煤矿围岩控制及监测技术

窦林名 陆菜平 牟宗龙 岑传鸿 著

中国矿业大学出版社

图书在版编目(CIP)数据

煤矿围岩控制及监测技术/窦林名等著. —徐州：
中国矿业大学出版社, 2014. 12
ISBN 978 - 7 - 5646 - 2576 - 4
I . ①煤… II . ①窦… III . ①煤矿—围岩控制 ②煤矿
—围岩—监测 IV . ①TD326
中国版本图书馆 CIP 数据核字(2014)第 296830 号

书 名 煤矿围岩控制及监测技术
著 者 窦林名 陆菜平 牟宗龙 岑传鸿
责任编辑 姜志方
出版发行 中国矿业大学出版社有限责任公司
(江苏省徐州市解放南路 邮编 221008)
营销热线 (0516)83885307 83884995
出版服务 (0516)83885767 83884920
网 址 <http://www.cumtp.com> **E-mail:** cumtpvip@cumtp.com
印 刷 徐州中矿大印发科技有限公司
开 本 787×1092 1/16 **印张** 14.5 **字数** 360 千字
版次印次 2014 年 12 月第 1 版 2014 年 12 月第 1 次印刷
定 价 48.00 元
(图书出现印装质量问题, 本社负责调换)

序 言

我国煤矿中,因顶板事故而死亡的人数,一直居各种事故死亡人数之首。近年来,煤矿顶板事故死亡人数约占全部事故死亡人数的 40%。

顶板事故按力学原因有压、漏、推三类,需要支架的支、护、稳三种性能来解决。保证所需支、护、稳性能的支架参数,基本上可通过控顶(围岩)设计来确定。但日常生产中支架的参数是否达到设计的要求,还有与正常生产有关的一些顶板(围岩)动态,则必须通过日常监测来获得。这两方面正是科学管理顶板(围岩)的内容。生产实践表明,只要认真做好设计与监测工作,就能最大限度地消除顶板(围岩)的灾害。本书是在介绍采场与巷道顶板(围岩)事故的机理与预防措施的基础上,阐述控顶(围岩)设计与日常监测有关的内容。

本书引用了何满潮、康红普、邹喜正等同志以及淮南矿务局等局矿的一些研究成果和案例,就此特作说明。

本书可作为采矿工程专业的教材,也是煤矿安全生产技术管理工作人员的重要参考书。

作 者

2013 年 8 月

目 次

上编 采场顶板控制及监测

1 采场顶板控制的基本知识	3
1.1 顶板与底板	3
1.2 岩石的物理性质	4
1.3 岩石的力学性质	5
1.4 垮落带与断裂带	6
1.5 采场上覆岩层活动规律的假说	7
1.6 垮落带岩层的确定	13
1.7 顶板事故基本类型及其对支架性能的要求	14
1.8 液压支架的性能	15
1.9 单体支架的性能	17
1.10 采场顶板的科学管理	23
2 采场顶板事故及预防	24
2.1 顶板事故分类	24
2.2 压垮型冒顶的机理及预防措施	25
2.3 漏冒型冒顶的机理及预防措施	29
2.4 推垮型冒顶的机理及预防措施	34
2.5 综合类型冒顶的机理及预防措施	38
2.6 对采场支架的基本要求	48
3 预防冒顶事故的采场控顶设计	51
3.1 概述	51
3.2 综采工作面控顶设计	52
3.3 综放工作面控顶设计	58
3.4 单体支柱工作面控顶距的确定	61
3.5 单体液压支柱工作面控顶设计	63
3.6 有关厚层难冒顶板工作面控顶设计的若干问题	68
3.7 有关确定 L_{iki} 与 L_{zx} 的若干问题	71
3.8 某矿 1022 单体液压支柱工作面控顶设计	75
3.9 某综采工作面控顶设计	87
3.10 某综放工作面控顶设计	97

4 顶板状态参数与采场支护参数	108
4.1 顶板状态参数	108
4.2 采场支护参数	110
4.3 支护参数与顶板状态参数的关系	112
5 支护质量与顶板动态监测	113
5.1 概述	113
5.2 综采工作面支护质量与顶板动态监测	113
5.3 单体液压支柱工作面支护质量与顶板动态监测	120

下编 巷道围岩控制及监测

1 巷道围岩控制的基本知识	129
1.1 围岩应力与变形	129
1.2 围岩强度、结构与变形	132
1.3 巷道支护与变形	134
1.4 锚杆支护作用原理	139
1.5 围岩稳定性分类	141
1.6 围岩变形的机理与控制	145
2 巷道围岩事故	153
2.1 概述	153
2.2 棚式支架巷道围岩事故	153
2.3 锚杆支护巷道围岩事故	159
2.4 控制锚杆支护巷道围岩事故总思路	179
3 有关锚杆支护巷道设计的若干问题	180
3.1 巷道与应力	180
3.2 巷道与围岩	188
3.3 锚杆支护	190
3.4 配合锚杆的其他支护	206
3.5 对控制巷道围岩变形的若干建议	213
3.6 对预防巷道围岩事故的一些思考与简述	214
4 支护质量及围岩动态监测	217
4.1 支护材料质量及施工质量	217
4.2 围岩变形观测	218
4.3 顶板离层监测	220
4.4 巷道围岩破坏圈的确定	223
参考文献	225

上编

采场顶板控制及监测

1 采场顶板控制的基本知识

1.1 顶板与底板

在地下煤层中采煤时,称煤层上面的岩层为顶板。顶板又可分为直接顶与老顶。

众所周知,直接顶是较软(强度小)的岩层,老顶是较硬(强度大)的岩层。但是,岩层的硬与软不仅与岩石的强度有关,还与岩层厚度的大小有关。例如,岩石强度较大的砂岩,如果岩层厚度很小,则这个砂岩层的强度较小、较软;反之,岩石强度较小的砂页岩,如果其岩层厚度较大,则这个砂页岩层的强度较大、较硬。因此,我们建议用下述观点来判别老顶与直接顶。

可以把厚度大于 $1.5\sim2.0$ m、较坚硬的岩层称为老顶(实质上是牢顶),老顶主要是砂岩、石灰岩与砂砾岩。厚度小于 $1.5\sim2.0$ m、较软弱、下面又无老顶的岩层则是直接顶,直接顶主要是页岩与砂页岩。多数情况下煤层上面既有直接顶又有老顶,如图 1.1.1 所示。有时,煤层上面没有直接顶,直接就是老顶。

实践表明,采煤后顶板岩层是按分层由下而上依次逐个向下运动的。分层可能是同一岩性的一个岩层,可能是同一岩性较厚岩层中的一部分岩层,也可能是由下“硬”上“软”不同岩性岩层组成的岩层组,此时软岩层为硬岩层的附加岩层,硬岩层为本分层的基础岩层(分层中只有一个岩层时,它本身就是基础岩层)。当分层包含岩层组时,作为基础岩层的硬岩层只有一个岩层,而作为附加岩层的软岩层则可能有几个岩层。

分层的属性(老顶或直接顶)由基础岩层的属性确定。基础岩层是老顶则为老顶分层,基础岩层是直接顶则为直接顶分层。分层(及其基础岩层)的层位,按惯例由下而上排列,即第一层直接顶分层(第一层直接顶)、第二层直接顶分层(第二层直接顶)等,第一层老顶分层(第一层老顶)、第二层老顶分层(第二层老顶)等。

在煤层和直接顶(或老顶)之间,有时存在一层厚度小于 0.5 m、随采随冒的软弱岩层,叫做伪顶,常见的伪顶有碳质页岩、泥质页岩等。

伪顶垮落下来后,有时将它抛弃到采空区内,有时则随着采落的煤炭一起运出采场。如

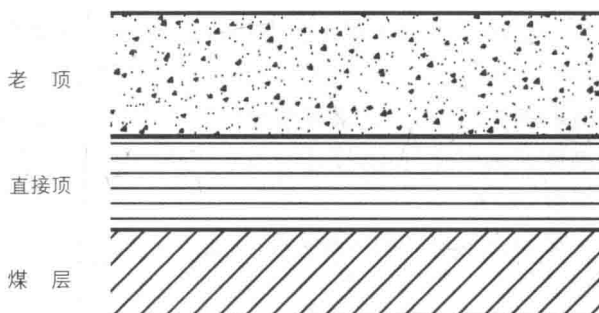


图 1.1.1 煤层上面有直接顶和老顶

果采取抛弃到采空区内的方式，则控顶设计时直接顶厚度应包括伪顶厚度。如果是随煤炭运出采场，则控顶设计时煤层采高应包括伪顶厚度。此外，在考虑采场支架或支柱的高度时，煤层采高也应包括伪顶厚度。

当老顶分层基础岩层厚度大于4 m时，则该老顶分层为厚层难冒顶板。

与煤层顶板相对应，采煤时称煤层下面的岩层为底板。直接在煤层下面的岩层叫做直接底。

顶板控制主要是管好直接顶和老顶。直接底过于软弱时，会给顶板控制带来一定的困难。

1.2 岩石的物理性质

与顶板控制关系较大的岩石物理性质有岩石的容重、碎胀性及软化性。

岩石的容重是指单位体积(包括空隙体积)岩石的重量，煤矿生产中常见岩石的容重见表1.1.1。

表 1.1.1 煤矿中常见岩石的容重

岩石种类	容重/(kN/m ³)	岩石种类	容重/(kN/m ³)
石灰岩	22~26	砂 岩	20~26
页 岩	20~24	煤	12~14

岩石破碎以后的体积将比整体状态下的体积大，这个性质称为岩石的碎胀性；岩石的碎胀性用岩石的碎胀系数K(岩石破碎膨胀后的体积与岩石处于整体状态下体积的比值)表示。岩石破碎后，在其自重和外加载荷的作用下会逐渐被压实，体积随之减小，碎胀系数比初始破碎时相应地变小；破碎岩石被压实后的体积与破碎前原始体积之比称为岩石的残余碎胀系数，以K'表示。

煤矿中常见岩石的碎胀系数见表1.1.2。

表 1.1.2 煤矿中常见岩石的碎胀系数

岩石名称	碎胀系数 K	残余碎胀系数 K'	岩石名称	碎胀系数 K	残余碎胀系数 K'
硬砂岩	1.5~1.8	—	砂质页岩	1.6~1.8	1.1~1.15
黏土页岩	1.4	1.1	碎 煤	<1.2	1.05

岩石浸水后，强度明显降低，通常用软化系数 η_c 表示水对岩石强度的影响程度。软化系数 η_c 是水饱和岩石试件的单向抗压强度与干燥岩石试件单向抗压强度的比值。软化系数 η_c 愈接近于1，表明岩石的软化性愈小。

表1.1.3为煤矿中几种常见岩石的软化系数值。由该表可见，各种岩石的软化系数都小于1，说明岩石都具有软化性。

表 1.1.3

煤矿中常见岩石的软化系数值

岩石名称	干试件抗压强度/MPa	水饱和试件抗压强度/MPa	软化系数
石灰岩	13.1~202.6	7.6~185.4	0.58~0.94
砂 岩	17.1~245.8	5.6~240.6	0.44~0.97
页 岩	55.8~133.3	13.4~73.6	0.24~0.55

1.3 岩石的力学性质

岩石是兼有弹性与塑性的材料。岩石受力后既可能出现弹性变形,也可能出现塑性变形,而且弹性变形与塑性变形往往同时出现。与顶板控制关系较大的岩石的力学性质是岩石的强度。

岩石试件在单向压缩时所能承受的最大压应力值叫做岩石的单向抗压强度;岩石试件在单向拉伸时所能承受的最大拉应力值叫做岩石的单向抗拉强度;岩石试件所能承受的最大剪应力值叫做岩石的抗剪强度。我国若干煤田顶底板岩石的单向抗压、单向抗拉和抗剪强度见表 1.1.4。

表 1.1.4

我国若干煤田顶、底板岩石强度值

岩石种类	单向抗压 强度/MPa	单向抗拉 强度/MPa	抗剪强度 /MPa	岩石种类	单向抗压 强度/MPa	单向抗拉 强度/MPa	抗剪强度 /MPa
石灰岩	52.9~157.8	7.7~13.8	9.8~30.4	砾 岩	80.4~94.0	4.0~11.76	6.6~26.4
砂砾岩	6.9~121.5	2.8~9.7	7.0~28.8	细砂岩	103.9~143.0	5.5~17.6	17.4~53.4
中砂岩	85.7~133.3	6.0~14.0	13.3~36.5	粗砂岩	56.8~123.5	5.4~11.6	12.4~30.4
粉砂岩	36.3~54.9	1.3~2.4	6.86~11.5	砂质页岩	39.2~90.2	3.9~11.8	20.6~29.9
页 岩	18.6~39.2	2.7~5.4	15.6~23.3	煤	4.9~49.0	2.0~4.9	1.08~16.2

应当指出,岩石试件在三向压应力作用下所能承受的最大轴向应力值称为岩石的三向抗压强度;岩石三向抗压强度比单向抗压强度大得多。煤矿中常见煤、岩的三向抗压强度见表 1.1.5。

表 1.1.5

煤矿中常见煤、岩三向抗压强度

岩石种类	不同围压(MPa)作用下岩石的抗压强度/MPa								
	0	9.8	19.6	29.4	39.2	49.0	58.8	78.4	151.9
白云质石灰岩	156.8		274.4		372.4			558.6	
石英砂岩	158.5	218.9	210.8	251	305.3	354.7			
砂 岩	67.6								475.3
砂页岩	58.8						377.3		
硬 煤	19.6					166.6		406.7	

根据实验研究,岩石在不同受力状态下的各种强度值,一般符合下列由大到小的顺序:三向等压抗压强度,三向不等压抗压强度,双向抗压强度,单向抗压强度,抗剪强度,单向抗拉强度。

还应当指出,以上所论述的岩石强度都是指岩石试件的强度,而顶板岩层则是一个岩体,由于岩层中存在裂隙、层理和弱面,所以岩体的强度比岩石强度小得多,有人认为只有岩石强度的 $1/20\sim 1/5$ 。

此外,要提到的还有岩石的蠕变特性。蠕变是指岩石在应力不变的条件下,应变随时间延长而增加的现象。

1.4 垮落带与断裂带

一个采煤工作面,在煤被采出后,通常在靠煤壁处用支架维护出一个不大的采空空间作为工作空间(包括机道、人行道与材料道等,如图 1.1.2 所示),多余的采空空间就是采空区。

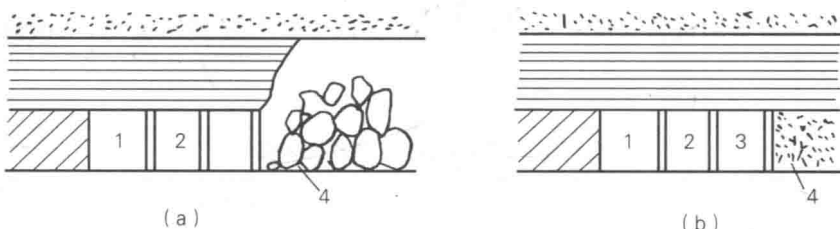


图 1.1.2 工作空间与采空区处理

(a) 全部垮落法; (b) 充填法

1——机道; 2——人行道; 3——材料道; 4——采空区

我国煤矿采空区的处理基本上是采用全部垮落法,即让采空区上方部分顶板自然垮落下来(有时需人工强制其垮落);个别情况下也有用矸石等材料充填采空区的,这种处理采空区的方法叫做充填法(如图 1.1.2 所示)。本书基本上是论述用垮落法处理采空区时顶板的活动规律及其控制方法,因此书中只要未说明用充填法处理采空区,那就意味着是用垮落法处理采空区。

在煤层中采煤并用全部垮落法处理采空区后,采空空间上方顶板岩层自下而上形成垮落带、断裂带与弯曲带,如图 1.1.3 所示。与采场生产关系密切的是垮落带与断裂带。垮落带岩层(包括直接顶和老顶)是指不支撑就会垮落的那部分岩层;断裂带岩层(主要是老顶,直接顶很厚时也包括直接顶)在其断裂、旋转、下沉及触研过程中,岩块间能够互相挤紧,从而形成能够承受载荷的平衡结构,并把自身及附加岩层的重量施加到采空空间周围的岩体及冒矸之上。众所周知,为保证采场安全而正常地进行生产,采场支架的支撑力至少应能支撑住垮落带岩层的重量,支架的可缩量应能适应垮落带或断裂带岩层的下沉。因此,实践中确定垮落带岩层及其厚度是个非常关键的问题。

应说明一点,采场控顶中垮落带与断裂带的涵义及其划分,与“三下”采煤中垮落带、断裂带与弯曲带的涵义及其划分不尽相同,请勿混淆。

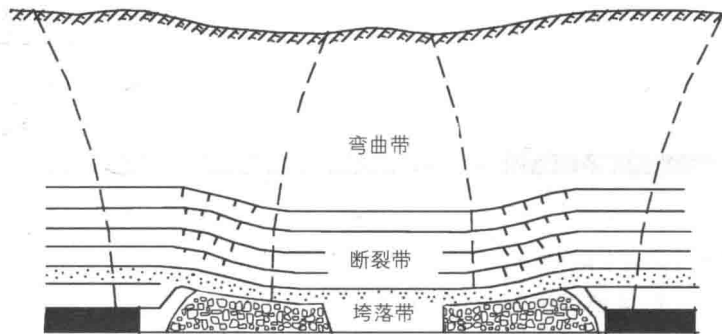


图 1.1.3 采空区上方岩层划分为“三带”

1.5 采场上覆岩层活动规律的假说

采煤后,采场支架及采场围岩所受到的力叫做矿山压力。为探索采场上覆岩层活动规律与矿山压力的关系,人们提出了一些假说。

1.5.1 压力拱假说

压力拱假说是由德国人哈克(W. Hack)和吉里策尔(G. Gillitzer)于1928年提出的。此假说认为,在采煤工作空间上方,由于岩层自然平衡的结果而形成了一个“压力拱”。拱的一个支撑点是在工作面前方煤体内,形成了前拱脚a,而另一个支撑点是在采空区内已垮落的矸石上或采空区的充填体上,形成了后拱脚b,如图1.1.4所示。随着工作面的推进,前、后拱脚也将向前移动。a、b均为应力增高区。在前、后拱脚之间,无论在顶板或底板中都形成了一个减压区,采煤工作面处于应力降低区,支架只承受压力拱内部分岩石的重量。

压力拱假说对采煤工作面前后的支承压力及采煤工作空间处于减压范围做出了粗略的但却是经典的解释,而对于此拱的特性、岩层变形、移动和破坏的发展过程以及支架与围岩的相互作用,并没有做任何分析。

1.5.2 悬臂梁假说

悬臂梁假说是由德国的施托克(K. Stoke)于1916年提出的,后得到英国的弗里德(I. Friend)、前苏联的格尔曼等的支持。此假说认为,工作面和采空区上方的顶板可视为梁,它一端固定于岩体内,另一端则处于悬伸状态。当顶板由几个岩层组成时,形成组合悬臂梁。悬臂梁会弯曲下沉,当悬伸长度很大时,会发生有规律的周期性折断,从而引起周期来压。

此假说可以解释工作面近煤壁处顶板下沉量小,支架载荷也小,而距煤壁越远则两者均大的现象。同时也可解释工作面前方出现的支承压力及工作面出现的周期来压现象。

根据上述观点,提出了各种计算方法,但由于并未查明开采后上覆岩层的活动规律,因此仅凭悬臂梁本身计算所得的顶板下沉量和支架载荷与实际所测得的数据相差甚远。

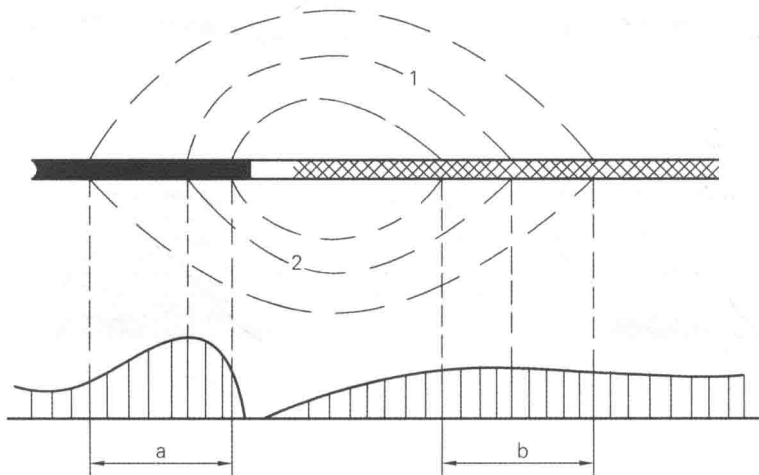


图 1.1.4 采煤工作面压力拱假说

a——前拱脚; b——后拱脚;
1——顶板内压力拱轴线; 2——底板内压力拱轴线

1.5.3 铰接岩块假说

铰接岩块假说由前苏联库兹涅佐夫于 1950~1954 年提出。此假说认为, 工作面上覆岩层的破坏可分为垮落带和其上的规则移动带。垮落带分上下两部分, 下部垮落时, 岩块杂乱无章; 上部垮落时, 则呈规则的排列, 但与规则移动带的差别在于无水平方向有规律的水平挤压压力的联系。规则移动带下部岩层的厚度不小于其下自由空间高度, 岩块间可以相互铰合而形成一条多环节的铰链(即三铰拱式平衡), 并有规则地在采空区上方下沉而不垮落(如图 1.1.5 所示)。

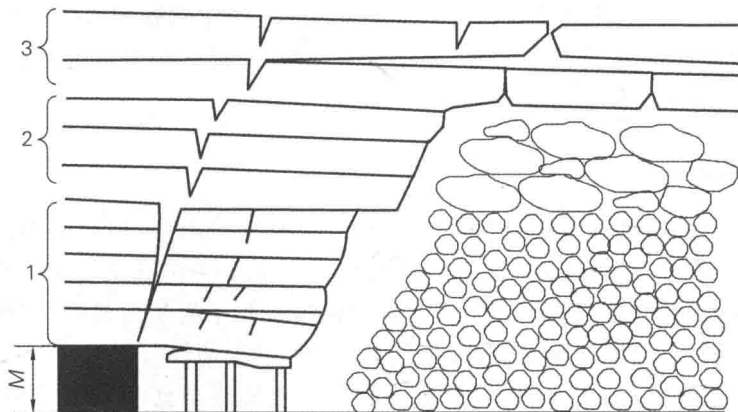


图 1.1.5 铰接岩块假说

1——不规则垮落带; 2——规则垮落带;
3——断裂带(规则移动带)

此假说对支架和围岩的相互作用做了较详细的分析。假说认为,工作面支架存在两种不同的工作状态。当规则移动带(相当于老顶)下部岩层变形小而不发生折断时,垮落带岩层(相当于直接顶)和老顶间就可能发生离层,支架最多只承受直接顶折断岩层的全部重量,这种情况称支架处于“给定载荷状态”。当直接顶受老顶影响折断时,支架所承受的载荷和变形将随规则移动带下部岩块的下沉不断增加,直到岩块受已垮落岩石的支撑达到平衡为止,这种情况称为支架的“给定变形状态”。

铰接岩块假说正确地阐明了工作面上覆岩层的分带情况,并初步涉及岩层内部的力学关系及其可能形成的“结构”。但此假说未能对铰接岩块间的平衡条件做进一步探讨。

1.5.4 预成裂隙假说

预成裂隙假说由比利时学者 A. 拉巴斯于 20 世纪 50 年代初几乎与铰接岩块假说在同一时期提出,假塑性梁是此假说中的主要组成部分。事实上,此假说是从另一侧面解释了破断岩块的相互作用关系。此假说认为,由于开采的影响,采煤工作面上覆岩层的连续性遭到破坏,从而成为非连续体。在采煤工作面周围存在着应力降低区、应力增高区和采动影响区。随着工作面推进,三个区域同时相应地向前移动,如图 1.1.6 所示。其中,Ⅰ为应力降低区;Ⅱ为应力增高区,包围面 S_E 上的剪应力达最大;Ⅲ为采动影响区。

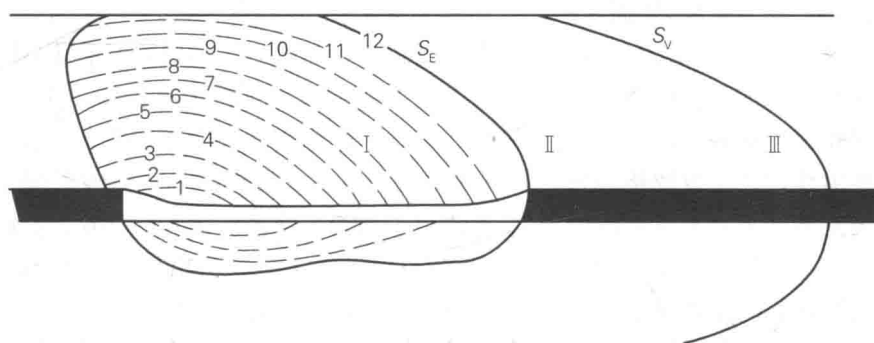


图 1.1.6 预成裂隙假说

由于开采后上覆岩层中存在各种裂隙,这些裂隙有可能是由于支撑压力作用而形成的,它可能是平行于正压应力的张开裂隙,也可能是与正压应力成一定交角的剪切裂隙,从而使岩体发生很大的类似塑性体的变形,因而可将其视为“假塑性体”。这种被各种裂隙破坏了的假塑性体处于一种彼此被挤紧的状态时,可以形成类似梁的平衡;在自重及上覆岩层的作用下,将发生明显的假塑性弯曲;当下部岩层的下沉量大于上部岩层时,就产生离层(如图 1.1.7 所示)。

此假说认为,为了有效地控制顶板,应保证支架具有足够的初撑力和工作阻力,并应及时支撑住顶板岩层,使各岩层及岩块之间保持挤紧状态,借助于彼此之间的摩擦阻力,阻止岩层破断岩块之间的相对滑移、张裂与离层。

1.5.5 我国学者在岩体结构力学模型上的发展

我国学者钱鸣高院士在总结铰接岩块假说及预成裂隙假说的基础上,以及在大量生产

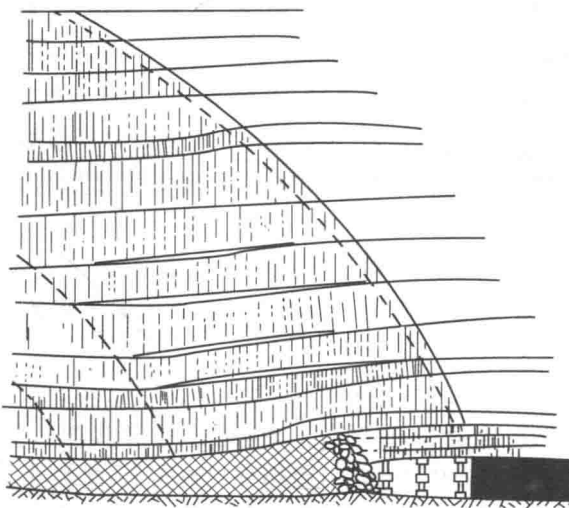


图 1.1.7 顶板岩层的假塑性弯曲

实践及对岩层内部移动进行现场观测的基础上,于 20 世纪 70 年代末 80 年代初提出了岩体结构的“砌体梁”力学模型,从而发展了上述有关假说。

“砌体梁”结构认为:采场上覆岩层的岩体结构骨架是覆岩中的坚硬岩层,可将上覆岩层划分为若干组,每组以坚硬岩层为底层,其上部的软弱岩层可视为直接作用于骨架上的载荷。随着工作面的推进,采空区上方坚硬岩层在断裂带内将断裂成排列整齐的岩块,岩块间将受水平推力作用而形成铰接关系。岩层移动曲线的形态经实测呈开始为下凹、而后随工作面的推进逐渐恢复水平状态的过程,由此决定了断裂岩块间铰接点的位置。若曲线下凹,则铰接点位置在岩块断裂面的偏下部;反之,则在偏上部。如果在采煤空间以及邻近的采空区上方出现明显的离层区,说明该区内断裂的岩块可以形成悬露结构。

采场上覆岩层的“砌体梁”结构模型如图 1.1.8 所示。图中,Ⅰ为垮落带,Ⅱ为断裂带,Ⅲ为弯曲带,A 为煤壁支撑区,B 为离层区,C 为重新压实区。鉴于此结构是似砌体一样排列而组成的,因而称之为“砌体梁”。

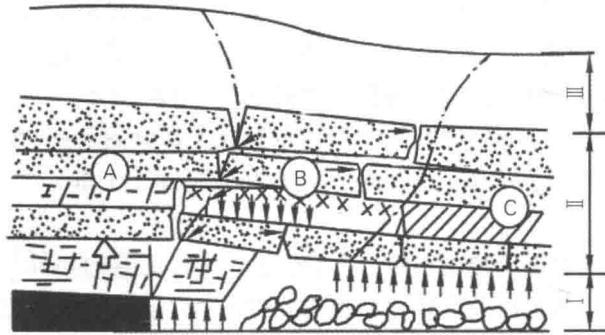


图 1.1.8 采场上覆岩层中的“砌体梁”力学模型

钱鸣高院士在其“砌体梁”理论中提出,老顶岩层必须具备以下两个条件才能形成平衡

结构(即进入断裂带):第一,岩层厚度要比其下自由空间的高度大得多;第二,老顶断块长度与其岩层厚度的比值应大于2。

考虑到老顶岩层的断块形成平衡结构并进入断裂带时,需要有相当的水平推力,使挤压面产生的摩擦阻力能承受老顶岩层本身及上位岩层的重量,这就要求在断块间的挤压点上有一定的承压面积;也就是说,断裂带老顶的岩层厚度要明显地大于其下自由空间的高度。可见,钱鸣高院士的理论比库兹涅佐夫的假说更符合实际情况。钱鸣高院士所提出的老顶岩层进入断裂带的两个条件中,关于断块长度与岩层厚度的比值大于2的问题,一般情况下均能自然得到满足;关于岩层厚度比其下自由空间高度大得多的问题,目前还很难用计算的方法得出定量的答案,即目前只能靠实践经验来解决。我们认为,当老顶岩层厚度大于其下自由空间高度2m时,该老顶岩层已进入断裂带。

这样一来,可以用式(1.1.1)来判别进入断裂带的老顶岩层:

$$H_i \geq M - \left[\sum_{i=0}^{i-1} H'_i (K_1 - 1) + h(K_2 - 1) \right] + 2 \quad (1.1.1)$$

式中 H_i ——由下而上第*i*层老顶岩层(基础岩层)的厚度,m;

H'_i ——由下而上第*i*层老顶分层的厚度,m;

M ——煤层采高,m;

K_1 ——老顶及其附加岩层的岩石碎胀系数;

h ——直接顶厚度,m;

K_2 ——直接顶岩层的岩石碎胀系数。

当式(1.1.1)成立时,说明第*i*层老顶分层已进入断裂带。不言而喻,第*i*层老顶分层以下的老顶分层及直接顶分层则为垮落带岩层。

应用式(1.1.1)时,可从*i*=1开始。由于垮落带岩层总厚度只有3倍采高左右,因而只需经过很少次数的验算,就可以确定出开始进入断裂带的老顶分层。

我国学者还对采场及采空区上方老顶的板破断进行研究。根据采面周边煤柱的大小(大时为固支,小时为简支),把老顶板的支撑条件分为图1.1.9所示的四种情况:(a)四边固支;(b)三边固支,一边简支;(c)两边固支,两边简支;(d)一边固支,三边简支。

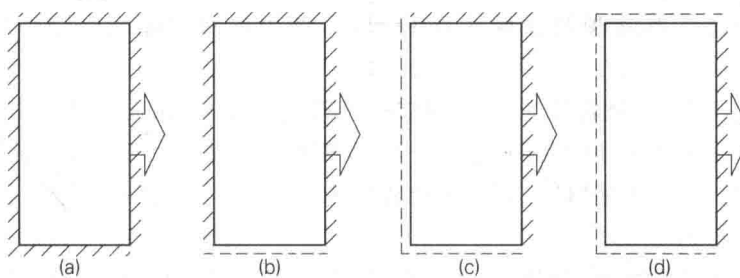


图1.1.9 老顶板支撑条件的简化

现以四边固支的板为例,当采煤工作面自开切眼推进到一定距离时,弯矩的最大值发生在长边的中心部位,因而首先在此形成断裂[图1.1.10(a)],而后在短边的中央形成裂隙[图1.1.10(b)],待四周裂隙贯通而呈“O”形后,板中央的弯矩又达到最大值,超过强度极限而形成裂隙,最后形成“X”形破断,如图1.1.10(c)所示。这就是老顶初次破断。